



円柱のまわりの流れの解析について：
中程度のレイノルズ数領域の場合

メタデータ	言語: jpn 出版者: 室蘭工業大学 公開日: 2014-07-24 キーワード (Ja): キーワード (En): 作成者: 奥田, 教海, 沢田, 敬, 一場, 久美 メールアドレス: 所属:
URL	http://hdl.handle.net/10258/3621

円柱のまわりの流れの解析について

—中程度のレイノルズ数領域の場合

奥田教海・沢田 敬*・一場久美

Numerical Analysis for the Flow around a Cylinder
—In the Flow Region with medium Reynolds Number

Kyōkai Okuda, Takashi Sawada and Hisayoshi Ichiba

Abstract

The exact solutions for the uniform, incompressible and viscous flow around a cylinder could not be obtained because of nonlinearity belonging to the governing equations—Navier-Stokes equations. In low Reynolds number region, approximate solutions were obtained with Stokes or Oseen equations ; on the contrary, the methods of boundary-layer approximation were applied to the flow in high Reynolds number region.

The authors present the numerical solutions for the flow in medium Reynolds number, 40 and 500, for example, with explicit method using hybrid mesh, which consists of Cartesian and cylindrical coordinates.

I. 緒 言

非圧縮性、粘性、一様流中に置かれた円柱のまわりの流れは、ナビエ・ストークス方程式により表わされるが、非線型のため、直接に厳密解を得ることはできない。レイノルズ数が極めて小さい範囲ではストークスやオゼーンの式のような近似式で解が得られ、極めて大きい範囲では境界層近似が適用されている。しかし、中程度のレイノルズ数領域においてはまだ解析的に解く方法は確立されておらず、数値解析が最も有効な方法となつている。それ故、近年の大型電子計算機の発達と相俟つて省略されないところのナビエ・ストークス方程式の種々の数値解法が試みられてきた。本研究はハイブリッドメッシュを用いた陽解法により、レイノルズ数 40 と 500 において数値計算を試みたものである。

II. 支配方程式

2次元非圧縮性、一様流中の粘性流れはナビエ・ストークス方程式と連続式により表わされる。

*松下電器産業株式会社

$$\frac{\partial u}{\partial t} + u \frac{\partial u}{\partial x} + v \frac{\partial u}{\partial y} = -\frac{1}{\rho} \frac{\partial P}{\partial x} + \nu \left(\frac{\partial^2 u}{\partial x^2} + \frac{\partial^2 u}{\partial y^2} \right) \quad (1)$$

$$\frac{\partial v}{\partial t} + u \frac{\partial v}{\partial x} + v \frac{\partial v}{\partial y} = -\frac{1}{\rho} \frac{\partial P}{\partial y} + \nu \left(\frac{\partial^2 v}{\partial x^2} + \frac{\partial^2 v}{\partial y^2} \right) \quad (2)$$

$$\frac{\partial u}{\partial x} + \frac{\partial v}{\partial y} = 0 \quad (3)$$

上式より圧力 P を消去し、渦度 ζ に関する渦輸送式を導く。

$$\frac{\partial \zeta}{\partial t} + \frac{\partial(u\zeta)}{\partial x} + \frac{\partial(v\zeta)}{\partial y} = \nu \left(\frac{\partial^2 \zeta}{\partial x^2} + \frac{\partial^2 \zeta}{\partial y^2} \right) \quad (4)$$

渦度 ζ を流れ関数 ψ を用いて表わすと次式のようなポアソン型の方程式を得る。

$$\frac{\partial^2 \psi}{\partial x^2} + \frac{\partial^2 \psi}{\partial y^2} = -\zeta \quad (5)$$

式 (4), (5) を円筒座標系に変換すると

$$\frac{\partial \zeta}{\partial t} + \frac{1}{r} \frac{\partial(rv_r \zeta)}{\partial r} + \frac{1}{r} \frac{\partial(v_\theta \zeta)}{\partial \theta} = \nu \left\{ \frac{1}{r} \frac{\partial}{\partial r} \left(r \frac{\partial \zeta}{\partial r} \right) + \frac{1}{r^2} \frac{\partial^2 \zeta}{\partial \theta^2} \right\} \quad (6)$$

$$\frac{1}{r} \frac{\partial}{\partial r} \left(r \frac{\partial \psi}{\partial r} \right) + \frac{1}{r^2} \frac{\partial^2 \psi}{\partial \theta^2} = -\zeta \quad (7)$$

無限遠速度、円柱の直径、動粘性係数を基本単位にとり無次元化すると

$$\frac{\partial \zeta'}{\partial t'} + \frac{\partial(u' \zeta')}{\partial x'} + \frac{\partial(v' \zeta')}{\partial y'} = \frac{1}{Re} \left(\frac{\partial^2 \zeta'}{\partial x'^2} + \frac{\partial^2 \zeta'}{\partial y'^2} \right) \quad (4')$$

$$\frac{\partial^2 \psi'}{\partial x'^2} + \frac{\partial^2 \psi'}{\partial y'^2} = -\zeta' \quad (5')$$

$$\frac{\partial \zeta'}{\partial t'} + \frac{1}{r'} \frac{\partial(r' v'_r \zeta')}{\partial r'} + \frac{1}{r'} \frac{\partial(v'_\theta \zeta')}{\partial \theta'} = \frac{1}{Re} \left\{ \frac{1}{r'} \frac{\partial}{\partial r'} \left(r' \frac{\partial \zeta'}{\partial r'} \right) + \frac{1}{r'^2} \frac{\partial^2 \zeta'}{\partial \theta'^2} \right\} \quad (6')$$

$$\frac{1}{r'} \frac{\partial}{\partial r'} \left(r' \frac{\partial \psi'}{\partial r'} \right) + \frac{1}{r'^2} \frac{\partial^2 \psi'}{\partial \theta'^2} = -\zeta' \quad (7')$$

ここで Re はレイノルズ数を表わし、 ρ , ν はそれぞれ密度および動粘性係数を表わす。

III. 数 値 計 算

差分化は不等間隔格子における1次および2次の差分公式を用いて行った。円筒座標系における渦輸送式およびポアソン式は次のようである。

$$\begin{aligned} & \frac{\zeta_{jr,io}^{n+1} - \zeta_{jr,io}^n}{\delta t} + \frac{(rv_r \zeta)_{jr+\frac{1}{2},io}^n - (rv_r \zeta)_{jr-\frac{1}{2},io}^n}{r_{jr} DR_{jr}} + \frac{(v_\theta \zeta)_{jr,io+\frac{1}{2}}^n - (v_\theta \zeta)_{jr,io-\frac{1}{2}}^n}{r_{jr} \delta \theta} \\ & = \frac{1}{Re} \left[\left\{ \frac{2r_{jr} - \alpha_{jr} \delta r_{jr}}{r_{jr}(1 + \alpha_{jr}) \delta r_{jr}^2} \right\} \zeta_{jr-1,io}^n + \left\{ \frac{2r_{jr} + \delta r_{jr}}{\alpha_{jr} r_{jr}(1 + \alpha_{jr}) \delta r_{jr}^2} \right\} \zeta_{jr+1,io}^n \right. \\ & \quad \left. + \frac{1}{r_{jr}^2 \delta \theta^2} \left\{ \zeta_{jr,io-1}^n + \zeta_{jr,io+1}^n \right\} - \left\{ \frac{2r_{jr} + \delta r_{jr} - \alpha_{jr} \delta r_{jr}}{\alpha_{jr} r_{jr} \delta r_{jr}^2} + \frac{2}{r_{jr}^2 \delta \theta^2} \right\} \zeta_{jr,io}^n \right] \quad (8) \end{aligned}$$

$$\zeta_{jr,io} = - \left[\frac{1}{\alpha_{jr}(1+\alpha_{jr})\delta r_{jr}} \left\{ \frac{2\alpha_{jr}}{\delta r_{jr}} \psi_{jr-1,io} - \frac{2(1+\alpha_{ir})}{\delta r_{jr}} \psi_{jr,io} + \frac{2}{\delta r_{jr}} \psi_{jr+1,io} \right. \right. \\ \left. \left. + \frac{1}{r_{jr}} \psi_{jr+1,io} - \frac{(1-\alpha_{jr}^2)}{r_{jr}} \psi_{jr,io} - \frac{\alpha_{jr}^2}{r_{jr}} \psi_{jr-1,io} \right\} \right. \\ \left. + \frac{1}{r_{jr}^2} \left(\frac{\psi_{jr,io-1} - 2\psi_{jr,io} + \psi_{jr,io+1}}{\delta\theta^2} \right) \right] \quad (9)$$

δ は座標間距離を表わし、 α はセルとセルの座標間距離の比、 DR はセルの半径方向の長さを表わす。

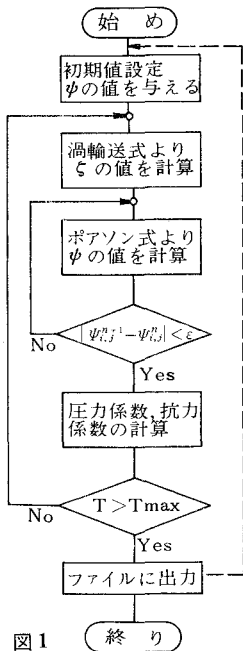


図1

流れ場の計算領域は $13d \times 10d$ の長方形であり、円柱の近くは円筒座標系が直交座標系と重複するようにとった。図1に簡単化した流れ図を示す。初期値としてポテンシャル流れの値を用い、次の境界条件を満足するように繰り返し計算を行った。

1. 流入端で渦度および y 方向速度が0,
2. 流出端で y 方向の速度および渦度の x 方向に関する変化が0,
3. 上端および下端では y 方向速度は0であり、 x 方向速度は無限遠速度である,
4. 円柱表面で流れ関数は一定であり、すべりが無い。

計算は初めに直交座標系で行なわれ、その値から円筒座標系の最も外側のセルに補間される。つぎに外側のセルの値を境界値として円筒座標系における値が計算される。更に重複する部分の直交座標系における値が円筒座標系の値から補間される。補間は求めようとするセル

に最も近い他の座標系の4つのセルの値から行われる。直交座標系から円筒座標系への補間を考えると、いま求める値を $A_{jr,io}$ 、そのセルの直交座標系における座標値を (x_c, y_c) とする。直交座標系の4つのセルの持つ値を $A_{i,j}$ 、 $A_{i+1,j}$ 、 $A_{i,j+1}$ 、 $A_{i+1,j+1}$ とし座標値を (x_i, y_j) 、 (x_{i+1}, y_j) 、 (x_i, y_{j+1}) 、 (x_{i+1}, y_{j+1}) とすると y 方向に関して

$$A_1 = A_{i,j} + \frac{y_c - y_j}{y_{j+1} - y_j} (A_{i,j+1} - A_{i,j}) \quad (10)$$

$$A_2 = A_{i+1,j} + \frac{y_c - y_j}{y_{j+1} - y_c} (A_{i+1,j+1} - A_{i+1,j}) \quad (11)$$

上の2つの値を x 方向に関して補間すると、結局、求める値はつぎのようになる。

$$A_{jr,io} = A_2 + \frac{x_c - x_{i+1}}{x_i - x_{i+1}} (A_1 - A_2) \quad (12)$$

計算結果はファイルに記憶し順次計算を継いで行った。

IV. 計算結果

レイノルズ数 40 および 500 の場合ともにステップ数は 2000 まで実行された。到達した無次元時間は 40 の場合は 20.37, 500 の場合は 20.32 であった。全体の計算を通してタイムステップの大きさは約 0.01 で、実際の計算機のランニングタイムは北海道大学大型計算機センターの FACOM 230-60 を使用して両方ともに約 4.5 時間であった。ポアソン式の計算繰り返し回数が 1 回、つまり流れ関数の値が定常になったと考えられるのはレイノルズ数 40 では無次元時間 17.1, 500 の場合は 19.6 であった。

図 2 はレイノルズ数 40 における抗力係数の圧力成分と摩擦による剪断力成分との関係を示している。図 3 はレイノルズ数 500 の場合についてのそれらである。最終的にはレイノルズ数 40 の場合は圧力による抗力の全体に占める割合が 68.7% であり、500 の場合は 91.6% であった。このことよりレイノルズ数が大きくなると圧力による抗力が全体の抗力の大部分を占めることがわかる。

図 4, 5 はレイノルズ数 40 と 500 の場合の円柱表面の圧力分布を計算時間をパラメータにして描いてある。圧力分布は理想状態の流れの曲線から次第に剥離が生じて平坦な部分をもつ曲線へと変化してゆく。図 6 にある剥離点の位置と比較してみると圧力分布曲線の平坦な部

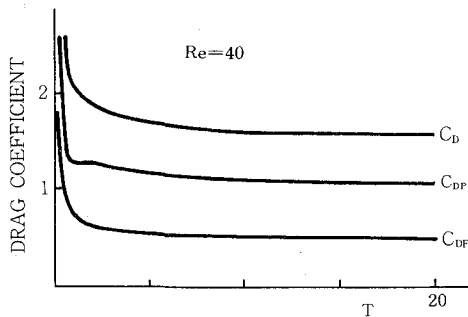


図 2

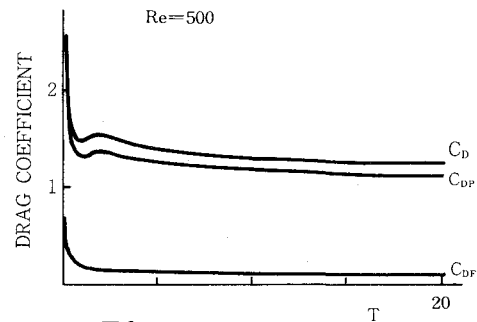


図 3

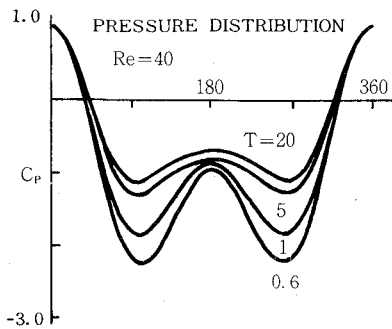


図 4

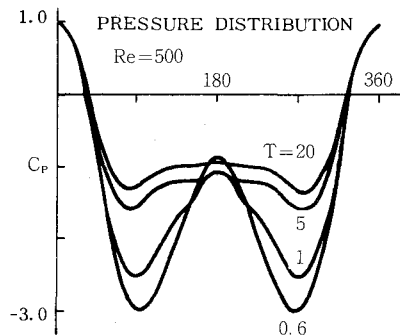


図 5

分が剥離した部分に一致するということがより明確に理解できる。結局剥離点の位置はレイノルズ数 40 で 120° 、500 では 105° であった。

図 7 は後流渦の成長を示すグラフであるが、レイノルズ数 40 の場合は無次元時間 8.0 を超えるとほぼ一定の長さになるのに対して、レイノルズ数 500 の場合は成長を続けている。

図 8 はレイノルズ数 40 で無次元時間 20.0 における流線模様であり、図 9 はレイノルズ数 500 で無次元時間 20.0 の場合のそれである。

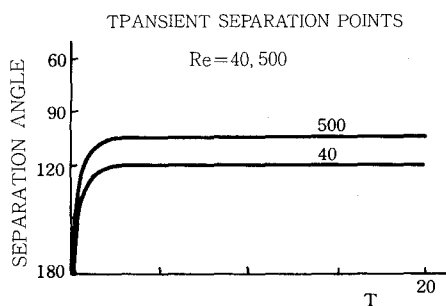


図 6

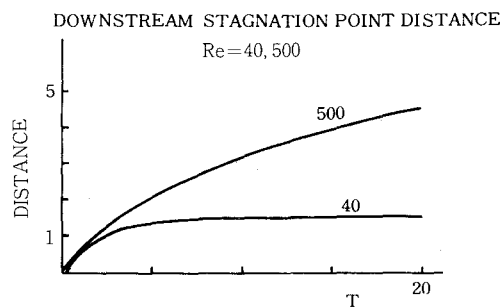


図 7

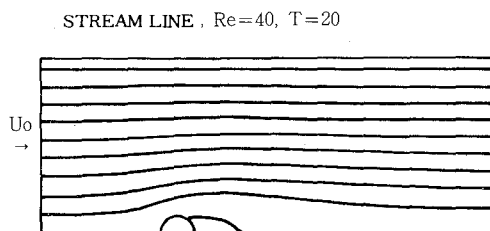


図 8

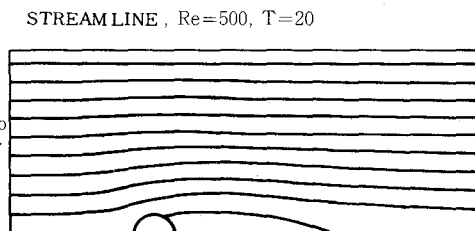


図 9

V. 結 言

レイノルズ数 40 および 500 のいずれの場合においても計算は極めて安定して進められた。本研究は陽解法を用いたのでタイムステップの大きさが制限されたが、無次元時間 5.0 を超えると繰り返し計算の数も急激に少なくなり適当な初期値が与えられれば極めて有利な手法であることがわかった。しかし厳密解が求められていないため、計算の精度の比較が困難なこと、またカルマン渦の発生という点に関して大きな問題を残している。おわりに北海道大学大型電子計算機センターの各位、本学流体機械学、流体工学両講座の関係教職員各位に深甚なる謝意を表す。

(昭和 50 年 5 月 20 日受理)

文 献

- (1) Payne, R. B.: *J. Fluid Mech.*, **4**, (81), (1958)
- (2) Thoman, D. C. & Szewezyc, A. A.: *Notre Dame Tech. Rep.* 66-14, (1966)
- (3) Son, J. S. & Hanratty, T. J.: *J. Fluid Mech.*, **35**, (2) 369 (1968)
- (4) Goddard, V. P.: Thesis for Ph. D., Univ. of Notre Dame, (1972)
- (5) Kawaguti, M. & Jain, P.: *J. Phys. Soc. Japan*, **10**, (93), (1966)